

01;12
 ©1992 г.

ИССЛЕДОВАНИЕ СЛОЖНЫХ КОЛЕБАНИЙ В ПЕРЕМЕННОМ МАГНИТНОМ ПОЛЕ ПРИ ПОДВЕШИВАНИИ СВЕРХПРОВОДНИКА

*O.И.Горский, В.А.Дзензерский,
 Э.А.Зельдина*

Исследованы сложные колебания подвешенного сверхпроводящего контура в переменном магнитном поле. Показано, что при определенных условиях может происходить исчезновение „вязкого“ трения.

Взаимодействие сверхпроводников со слабо модулированным магнитным полем имеет ряд особенностей, которые проявляются при исследовании подвешивания и левитации постоянного магнита вблизи ВТСП. В работах [1,2] были обнаружены резонансы различных колебательных мод при левитации, в [3] показано, что переменное магнитное поле увеличивает жесткость левитации, континuum равновесных положений исчезает и происходит переход к единственной точке равновесия. Установление нового равновесного положения под действием хаотических колебаний было замечено в [4] при электродинамической левитации магнита над движущимся неферромагнитным барабаном. При исследовании вертикальных колебаний идеально проводящего токового контура [5] было показано также, что левитирующий магнит может переходить в новое положение равновесия. Отмеченные авторами [4,5] факты позволяют предположить, что наблюдаемое в [3] исчезновение „вязкого“ трения характерно не только для ВТСП.

Целью настоящей работы являются исследование колебаний подвешенного токового контура с постоянным магнитным потоком в переменном магнитном поле и установление условий, при которых может происходить исчезновение „вязкого“ трения.

Рассматриваются совместные (вертикальные и горизонтальные) колебания в трехконтуарной системе (рис. 1) с сосредоточенными параметрами. Подвешенный контур 2 с постоянным магнитным потоком висит под стационарным токовым контуром 1. Рассеяние энергии колебаний контура 2 моделируется стационарным контуром 3, имеющим ненулевое

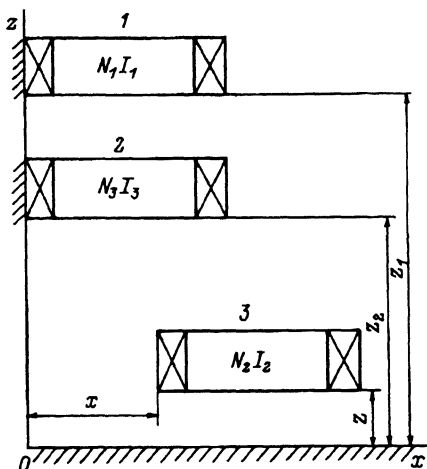


Рис. 1. Расчетная схема системы.

сопротивление R . Переменное магнитное поле создается контуром 1 с током $I_0 \sin \omega t$.

В качестве токовых контуров взяты прямоугольные рамки с длиной l_i ($i = 1, 2, 3$), шириной b .

Система уравнений, описывающая совместные колебания токового контура, имеет вид

$$\begin{aligned} \frac{d(l_3 I_3 + M_{32} I_2 + M_{13} I_1)}{dt} + R_3 I_3 &= 0, \\ L_2 I_2 + M_{21} I_1 + M_{32} I_3 &= L_2 I_{20}, \\ m \frac{d^2 z}{dt^2} &= mg - I_1 I_2 \frac{dM_{21}}{dz} + I_2 I_3 \frac{dM_{23}}{dz}, \\ m \frac{d^2 x}{dt^2} &= I_1 I_2 \frac{dM_{12}}{dx} + I_2 I_3 \frac{dM_{23}}{dx}, \\ I_1 &= I_{10} + I_0 \sin \omega t. \end{aligned} \quad (1)$$

Здесь x — горизонтальная координата центра масс подвижного контура; z — вертикальная координата; m — масса; M_{ij} — взаимоиндуктивность контуров, определяемая формулами [6]

$$\begin{aligned} M_{ij} &= \frac{M_0}{4\pi} \left\{ l_i \ln \left(\frac{\Delta_1 + A_1}{\Delta_2 + A_2} \frac{\Delta_4 + A_4}{\Delta_3 + A_3} \frac{\Delta_2 + B_2}{\Delta_1 + B_1} \frac{\Delta_3 + B_3}{\Delta_4 + B_4} \right) + \right. \\ &\quad + l_{i+1} \ln \left(\frac{\Delta_1 + A_2}{\Delta_3 + A_3} \frac{\Delta_2 + A_2}{\Delta_4 + A_4} \frac{\Delta_3 + B_3}{\Delta_1 + B_1} \frac{\Delta_4 + B_4}{\Delta_2 + B_2} \right) + \\ &\quad \left. + 2\Delta \ln \left(\frac{\Delta_1 + A_1}{\Delta_2 + A_2} \frac{\Delta_3 + A_3}{\Delta_4 + A_4} \frac{\Delta_2 + B_2}{\Delta_1 + B_1} \frac{\Delta_4 + B_4}{\Delta_3 + B_3} \right) \right\} \end{aligned}$$

$$+2b \ln \left(\frac{b+B_2}{b+B_1} \frac{b+B_4}{b+B_3} \frac{A_1 A_3}{A_2 A_4} \right) + \\ +4(B_1 - A_1 - B_2 + A_2 + B_3 - A_3 - B_4 + A_4) \Big\},$$

$$\Delta_n = \Delta + \frac{l_i + l_{i+1}}{2},$$

$$\Delta_2 = \Delta + \frac{l_i - l_{i+1}}{2},$$

$$\Delta_3 = \Delta - \frac{l_i + l_{i+1}}{2},$$

$$\Delta_4 = \Delta - \frac{l_i - l_{i+1}}{2},$$

$$A_k = \sqrt{\Delta_k^2 + h^2},$$

$$B_k = \sqrt{A_k^2 + b^2}, \quad k = 1, 2, 3, 4,$$

Δ и h — расстояние между двумя контурами i , $i+1$ соответственно по направлениям x и z .

В систему уравнений (1) входят производные от взаимоиндуктивности M_{ij}

$$\frac{dM_{ij}}{dz} = -\frac{M_0}{2\pi} \left\{ (A_2 - B_2) \frac{\Delta_2}{A_2^2} + (A_4 - B_4) \frac{\Delta_4}{A_4^2} - \right. \\ \left. -(A_1 - B_1) \frac{\Delta_1}{A_1^2} - (A_3 - B_3) \frac{\Delta_3}{A_3^2} + \right. \\ \left. + \frac{1}{2} \ln \left(\frac{\Delta_1 + B_1}{\Delta_1 - B_1} \frac{\Delta_1 + A_1}{\Delta_1 - A_1} \frac{\Delta_2 + B_2}{\Delta_2 - B_2} \frac{\Delta_2 - A_2}{\Delta_2 + A_2} \frac{\Delta_3 - B_3}{\Delta_3 + B_3} \times \right. \right. \\ \left. \left. \times \frac{\Delta_3 + A_3}{\Delta_3 - A_3} \frac{\Delta_4 + B_4}{\Delta_4 - B_4} \frac{\Delta_4 - A_4}{\Delta_4 + A_4} \right) \right\},$$

$$\frac{dM_{ij}}{dx} = -\frac{M_0}{2\pi} h \left\{ \frac{A_2 + A_4 - A_1 - A_3}{h^2} - \frac{B_2 + B_4 - B_1 - B_3}{b^2 + h^2} - \right. \\ \left. - \frac{A_1 - B_1}{A_1^2} + \frac{A_2 - B_2}{A_2^2} - \frac{A_3 - B_3}{A_3^2} + \frac{A_4 - B_4}{A_4^2} \right\}.$$

Собственная индуктивность прямоугольного контура имеет вид [7]

$$L_i = N_i - G_i,$$

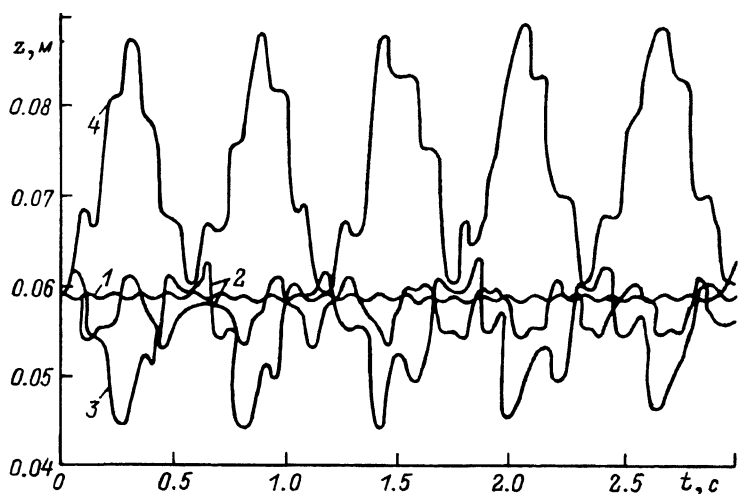


Рис. 2. Зависимость амплитуды вертикальных колебаний контура от времени.
 Δx_0 , м: 1 — 0.005, 2 — 0.025, 3 — 0.04, 4 — 0.055.

$$N_i = \frac{\mu_0}{\pi} b \ln \frac{2bl_i}{\sqrt{b^2 + l_i^2} + l_i} + \\ + l_i \ln \frac{2bl_i}{\sqrt{b^2 + l_i^2} + b} - 2 \left(\sqrt{b^2 + l_i^2} - l_i - b \right),$$

$$G_i = \frac{M_0}{\pi} (l_i + b) (\ln \delta - 0.25),$$

δ — радиус сечения провода.

Система уравнений (1) дополнялась начальными условиями

$$z(t=0) = z_0 + \Delta z_0,$$

$$\frac{dz(t=0)}{dt} = 0,$$

$$x(t=0) = \Delta x_0, \quad \frac{dx(t=0)}{dt} = 0,$$

$\Delta z_0, \Delta x_0$ — отклонения колеблющегося контура от положения равновесия по осям z и x .

За координаты положения равновесия принимались значения $z = z_0$ и $x = 0$. Величина z_0 определялась из решения уравнения

$$mg = I_1 I_2 \frac{dM_{21}(z_1 - z_0)}{dz}.$$

Уравнения (1) интегрировались методом Рунге–Кутта на ЭВМ БЭСМ-6.

Для исследования возможности исчезновения „вязкого“ трения проводились расчеты как для $I_0 = 0$, так и 10 А. Рассматривалась система

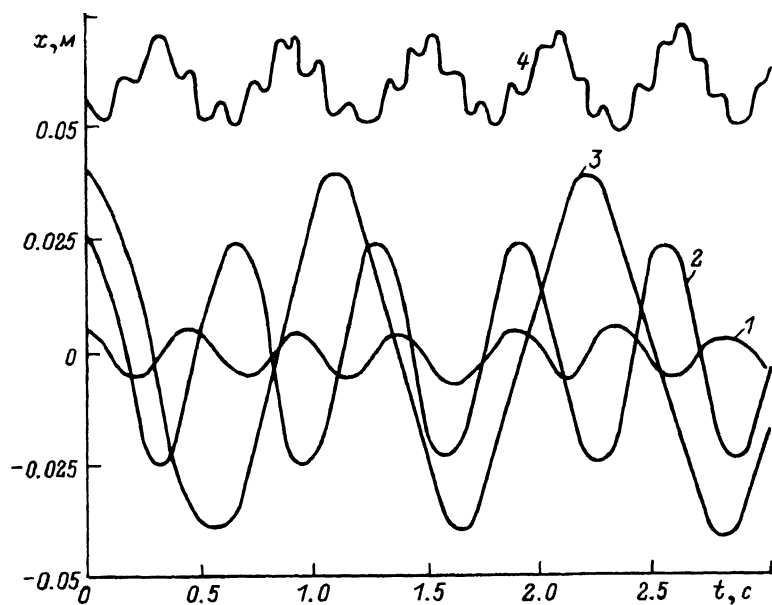


Рис. 3. Зависимость амплитуды горизонтальных колебаний контура от времени.
1-4 — то же, что и на рис. 2.

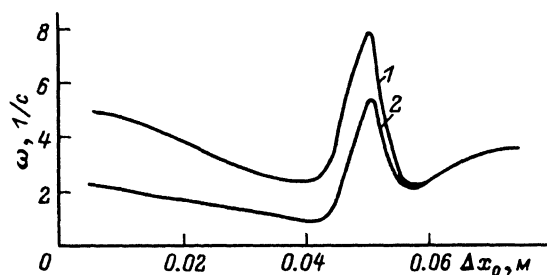


Рис. 4. Частота колебаний контура в зависимости от Δx_0 .
1 — по оси z , 2 — по оси x .

с исходными параметрами $z_1 = 0.1$ м, $m = 0.1$ кг, $I_{10} = 80$ А, $I_{20} = 10^4$ А, $\mu_0 = 4 \cdot 10^{-7}$ Гн/м, $\omega = 0 - 30$ Гц, $l_i = b = 0, 1$ м, $\delta_i = 0.001$ м.

Изменение амплитуды вертикальных колебаний в зависимости от времени при различных значениях возмущений по горизонтальной оси показано на рис. 2. Аналогичные зависимости для горизонтальных колебаний иллюстрирует рис. 3. Эта серия расчетов получена при $z_2 = 0.1$ м, $\Delta z = 0$, $R = 0$, $I_0 = 0$. Нетрудно видеть, что колебательный процесс носит сложный характер. Даже небольшие возмущения по оси x существенно влияют на переходной процесс в системе. В зависимости от Δx_0 меняются частоты колебаний (рис. 4).

Влияние возмущения Δx возрастает, когда его значение соизмеримо со значением координаты равновесия z_0 (в данной системе $z_0 = 0.0593$ м). При $\Delta x \geq 0$ наблюдается изменение положения равновесия.

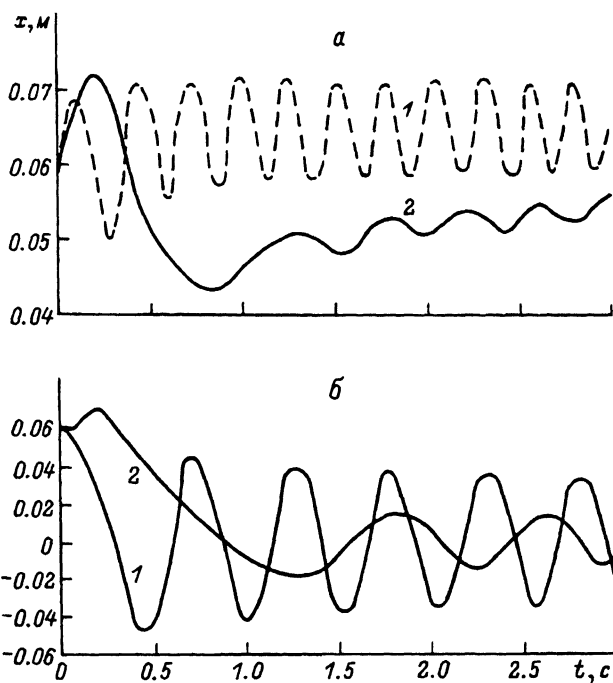


Рис. 5. Амплитуда колебаний в зависимости от времени.

a — по оси *z*, *b* — по оси *x*; R , Ом: 1 — $8.4 \cdot 10^{-5}$, 2 — $8.4 \cdot 10^{-6}$.

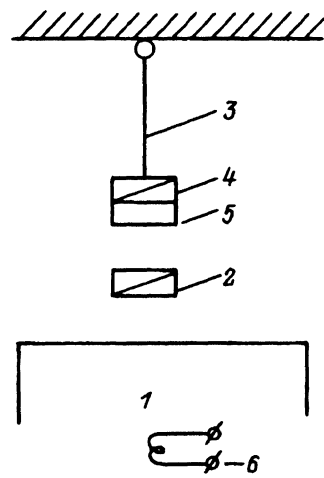


Рис. 6. Схема опыта.

На рис. 5 показано изменение амплитуды вертикальных (*a*) и горизонтальных колебаний (*b*) в системе с $z_2 = 0.075$ м и $I_0 = 0$ при различных значениях сопротивления R . Для $R = 8 \cdot 10^{-6}$ Ом наблюдается затухание колебаний с большим декрементом. Введение в контур 3 переменного тока $I_0 = 10$ А и проведение расчетов в широком диапазоне параметра

$\omega = 0 - 30$ Гц показало, что при $\omega = 5$ и 10 Гц горизонтальные колебания не затухают. Последнее и подтверждает теоретически исчезновение "вязкого" трения. Отметим, что эффект исчезновения "вязкого" трения может быть проиллюстрирован простейшим опытом (рис. 6). Над толстой медной пластиной 1 помещается небольшой постоянный магнит 2 (диаметр 80 мм, толщина 5 мм). На маятнике 3 находится постоянный магнит 4, который притягивает магнит 2. Если между магнитами 4 и 2 поместить медную плиту 5 на маятнике, то магнит 2 почти левитирует над плитой 1. Если переменное магнитное поле отсутствует, то при колебаниях маятника 3 магнит 2 тормозится вихревыми токами, наводимыми в плите 1. При включении токовой катушки 6 в области частот ~ 30 Гц магнит 2 увлекается колеблющимся маятником 3 и не тормозится вихревыми токами. Анализ полученных результатов позволяет сделать следующие выводы.

Исследование сложных колебаний в системе подвешивания токового идеального проводящего контура показывает, что необходимо рассматривать совместные боковые и вертикальные колебания из-за сильной их взаимообусловленности. Сильная корреляция колебаний приводит к изменению положения равновесия подвешенного контура. Если в один из контуров заводится ток $I_0 \sin \omega t$, то совместные вертикальные и боковые колебания показывают, что при определенных ω уменьшается диссипация энергии колебаний (диссипация теперь обусловлена потерями в токовой катушке 5 (рис. 6)). Исчезновение "вязкого" трения может иметь значение для электродинамической левитации экипажей высокоскоростного наземного транспорта [8].

Список литературы

- [1] Williams R., Matey J.R. // Appl. Phys. Lett. 1988. Vol. 52. p. 751-753.
- [2] Горский О.И., Дзензерский В.А. // Письма в ЖТФ. 1991. Т. 17. Вып. 4. С. 54-57.
- [3] Терентьев А.Н. // СФХТ. 1990. Т. 3. № 4. С. 763-766.
- [4] Мун Ф. Хаотические колебания. М.: Мир, 1990. 311 с.
- [5] Буряк А.А., Горский О.И., Дзензерский В.А. и др. // ЖТФ. 1991. Т. 61. Вып. 2. С. 82-87.
- [6] Kratki N., Oberretl K. // Archiv für Elektrotechnik. BRD. 1975. Vol. 67. N 2. P. 59-64.
- [7] Калантаров М.Л., Цейтлин Л.Л. Расчет индуктивностей. Л.: Энергоатомиздат, 1986. 487 с.
- [8] Fujiwara S. // Proc. 2nd ISS 89. ISTEС. Tsucuba. P. 41-46.

Отделение физико-технических проблем
транспорта на сверхпроводящих магнитах

Поступило в Редакцию
6 августа 1991 г.

Трансмаг"
Днепропетровск